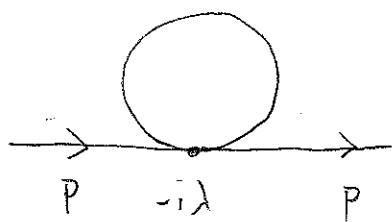


3.4. Renormalisaatio λg^4 teoriassa

Renormalisaation idea on yksinkertainen: määritellään parametrit (m^2, λ, g :n normitus) jokaisessa kertaluvussa siten että ∞ kumoutuu.

Katsotaan ensin 2-pistefunktion $\mathcal{O}(\lambda)$ -korjausta:



(symmetria tekijä:

$$\frac{4 \cdot 3}{4!} = \frac{1}{2})$$

Feynmanin sääntöjen avulla amplitudi on

$$A_2 = -\frac{i\lambda}{2} \int \frac{d^4k}{(2\pi)^4} \frac{i}{k^2 - m^2 + i\epsilon} \quad (3.30)$$

Euklidisoidaan; käytetään impulssiregularisointia:

$$\begin{aligned} A_2 &= -\frac{i\lambda}{2} \int \frac{d^4k}{(2\pi)^4} \int_0^\Lambda dk k^3 \frac{1}{k^2 + m^2} \\ &= \frac{-i\lambda}{16\pi^2} \int_0^\Lambda dk \left(k - \frac{km^2}{k^2 + m^2} \right) = \frac{-i\lambda}{16\pi^2} \left(\frac{1}{2} k^2 - \frac{m^2}{2} \ln(k^2 + m^2) \right) \\ &= \frac{-i\lambda}{32\pi^2} \left(\Lambda^2 - m^2 \ln \frac{\Lambda^2 + m^2}{m^2} \right) \\ &= \frac{-i\lambda}{32\pi^2} \left(\Lambda^2 - m^2 \ln \frac{\Lambda^2}{m^2} \right) + \mathcal{O}\left(\frac{1}{\Lambda^2}\right) \quad (3.31) \end{aligned}$$

Divergoi kvadraattisesti.

Dimensiomaalisessa regularisointiossa

$$A_2 = \frac{-i\lambda}{2} \mu^\epsilon \int \frac{d^d k}{(2\pi)^d} \frac{1}{k^2 + m^2}$$

$$= \frac{-i\lambda}{2} \mu^\epsilon \frac{\pi^{d/2} \Gamma(1 - \frac{d}{2})}{(2\pi)^d \Gamma(1) (m^2)^{1 - d/2}} \quad d = 4 - \epsilon$$

(3.14)

$$= \frac{-i\lambda}{32\pi^2} \Gamma(-1 + \frac{\epsilon}{2}) m^2 \left(1 + \frac{\epsilon}{2} \ln \frac{4\pi\mu^2}{m^2} + \mathcal{O}(\epsilon^2) \right)$$

Nyt

$$\Gamma(-1 + \frac{\epsilon}{2}) = \frac{\Gamma(\frac{\epsilon}{2})}{-1 + \frac{\epsilon}{2}} = -\left(\frac{2}{\epsilon} - \gamma_E + \mathcal{O}(\epsilon)\right) \left(1 + \frac{\epsilon}{2} + \mathcal{O}(\epsilon^2)\right)$$

$$= \underline{-\frac{2}{\epsilon} + \gamma_E - 1 + \mathcal{O}(\epsilon)} \quad (3.32)$$

joten

$$A_2 = \underline{\frac{-i\lambda}{32\pi^2} m^2 \left[-\frac{2}{\epsilon} + \gamma_E - 1 - \ln \frac{4\pi\mu^2}{m^2} \right] + \mathcal{O}(\epsilon)} \quad (3.33)$$

(huom! napa on taas $1/\epsilon$, ei esim. $1/\epsilon^2$.)

Siis $\mathcal{O}(\lambda)$ korjaus 2-pistefunktion
divergoi. Ei-renormalisoiduissa teorioissa nämä
divergenssit ovat kohtalokkaita; renormalisoiduissa
voidaan absorboida kytkentävaliisihin.

Voimme kumota edellä olevan $\mathcal{O}(\lambda)$ δ -muutoksen
modifiimalla massatermiä δ :ssä:

$$\frac{1}{2}m^2\phi^2 \rightarrow \frac{1}{2}(m^2 + \delta m^2)\phi^2 \quad (3.34)$$

missä lisätty vastatermi on formaalisti $\mathcal{O}(\lambda)$,
ja valittu siten että silmukan $\frac{Q}{\lambda}$
divergenssi kumoutuu.

Nyt euklidisessa avaruudessa

$$\frac{-i}{p^2+m^2+\delta m^2} = \frac{-i}{(p^2+m^2)\left(1+\frac{\delta m^2}{p^2+m^2}\right)} =$$

$$\frac{-i}{p^2+m^2} + \left(\frac{-i}{p^2+m^2}\right)^2 (-i\delta m^2) + \mathcal{O}(\lambda^2) \quad (3.35)$$

" $\mathcal{O}(\lambda)$

Saamme siis 2-piste Greenin funktion
(ei-amputoidun, ts. lisätään $\frac{-i}{p^2+m^2}$ jälkeihin)

$$G_E^{(2)}(p) = \underbrace{\frac{-i}{p^2+m^2}}_{\substack{\uparrow \\ \text{euklid.} \\ \mathcal{O}(\lambda^0)}} + \left(\frac{-i}{p^2+m^2} \right)^2 \underbrace{(-i\delta m^2 + A)}_{\substack{\mathcal{O}(\lambda) \\ (3.31, 3.33)}} + \mathcal{O}(\lambda^2)$$

$$= \longrightarrow + \frac{1}{2} \text{ (loop diagram with } -i\lambda \text{)} + \text{ (cross diagram with } -i\delta m^2 \text{)} + \mathcal{O}(\lambda^2)$$

(3.36)

Ekvivalentti- ja kenties parempi - tapa on
tulkita δm^2 uutena vertelunä, silloin
sitä koskee Feynmanin sääntö

verteksi $\text{---} \times \text{---} = -i\delta m^2$.

Tämän "symmetriatekijä" on $\frac{2 \cdot 1}{2} = 1$

$$\uparrow \frac{1}{2} \delta m^2 g^2$$

Kuinka δm^2 valitaan? selvästi

$$\delta m^2 = -\frac{\lambda}{32\pi^2} \left(\Lambda^2 - m^2 \ln \frac{\Lambda^2}{m^2} \right) + \dots \quad (\text{impulssireg. (3.31)})$$

$$= +\frac{\lambda}{32\pi^2} m^2 \frac{2}{\epsilon} + \dots \quad (\text{dim. reg (3.33)})$$

jotta divergenssi kumoutuu. Se miten
"..." valitaan riippuu renormalisaatiokeskeemasta.

1.) Impulssisubtraktiossa vaaditaan

että 2-pistefunktio skaalassa $p^2 = \bar{p}^2$, missä
 \bar{p} on renormalisointipiste, on vapaan
kentän propagattori:

$$G_R^{(2)}(p^2 = \bar{p}^2) = \frac{-i}{p^2 + m^2} \quad (3.37)$$

Tässä tapauksessa, kun A ei riipu
p:stä, tämä on triviaalia: valitaan

$$\delta m^2 = -iA, \quad \text{ja} \quad G^{(2)} = -i/(p^2 + m^2)$$

p:n arvosta riippumatta. Näin ei käy
yleisesti.

2) Minimaalisubtraktiossa (MS), mitä käytetään vain dim. regularisointiossa, vähennetään vain $\frac{1}{\epsilon}$ -napa:

$$\delta m^2 = \frac{\lambda}{32\pi^2} m^2 \frac{2}{\epsilon} \quad (3.38)$$

Nyt

$$\begin{aligned} G_R^{(2)MS}(p) &= \frac{-i}{p^2+m^2} + \left(\frac{-i}{p^2+m^2}\right)^2 \left(\frac{-i\lambda m^2}{32\pi^2}\right) \left(\gamma_E - 1 - \ln \frac{4\pi\mu^2}{m^2}\right) \\ &\quad + \mathcal{O}(\lambda^2) \\ &= \frac{-i}{\underbrace{p^2+m^2 + \frac{\lambda m^2}{32\pi^2} \left(\gamma_E - 1 - \ln \frac{4\pi\mu^2}{m^2}\right)}_{m_R^2}} + \mathcal{O}(\lambda^2) \end{aligned} \quad (3.39)$$

Voimme lukea tästä renormalisoidun massan:

$$m_R^2(\mu) = m^2 + \frac{\lambda m^2}{32\pi^2} \left(\gamma_E - 1 - \ln \frac{4\pi\mu^2}{m^2}\right) + \mathcal{O}(\lambda^2) \quad (3.40)$$

Siis G_R näyttää vapoon m_R^2 -massaisen kentän propagaattorilta, $m_R^2(\mu)$ riippuu μ :stä (tuli μ^ϵ :stä), renormalisointiskaalasta.

Normaalisti $\mu \sim$ relevantti energiaskaala,

esim. $\rho^2 = m^2$.

3) Modifioitu MS-skeema, MS. Kenties
entien käytetty. Vähennetään myös
joutavat γ_E ja $\ln 4\pi$ -termit.

$$\delta m^2 = \frac{\lambda}{32\pi^2} m^2 \frac{2}{\epsilon} - \gamma_E - \ln 4\pi \quad (3.41)$$

Nyt

$$m_R^2(\rho) = m^2 \left(1 - \frac{\lambda}{32\pi^2} \left(1 + \ln \frac{\rho^2}{m^2} \right) \right) + O(\lambda^2) \quad (3.42)$$

Valitsemalla vielä $\rho = m$, \ln -termi häviää.

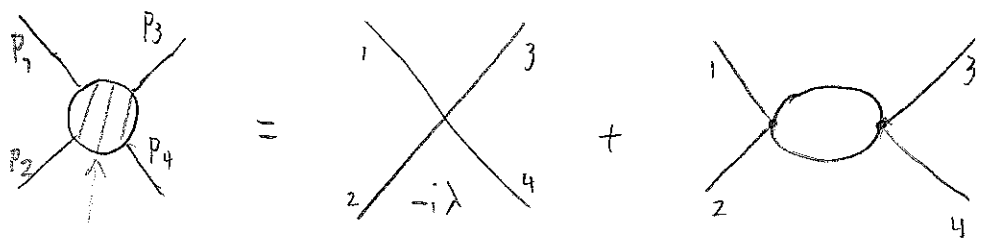
Tuloksena: m_R on systeemistä mitattava
massa (observaabeli). (3.42) ja (3.40) relativat

"paljoan massan" m^2 (Lagrangen parametri)

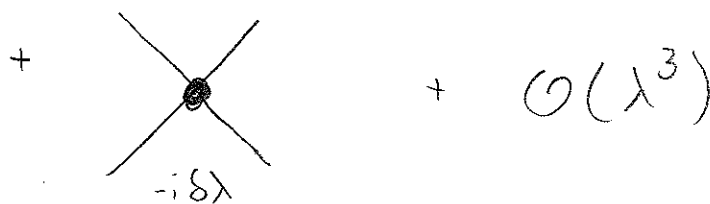
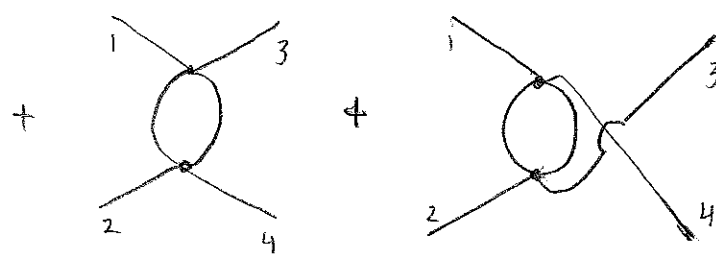
$m_R^2 = \text{eun.}$ Siis paljoan massa onkin skeemasta
riippuva!

Samaoin voimme kuvata 4-piste funktion:

Diagrammaattisesti



kaikki
kerrat



Missä on lisätty vastatermi $\frac{\delta\lambda}{4!} g^4$. Tämän $\rightarrow O(\lambda^2)$
Feynman-sääntö on kuten λ , siis

$$\text{Diagram with dot} = -i\delta\lambda \quad (3.43)$$

Amplitudi silmukalle laskettiin (3.29).

A_4 oli funktio impulssimomentista jotta
viivataat lenkin sisään

Toisista saadaan, amputoitu 4-pistefunktio

$$G_{12}^{(4)}(p_1, \dots, p_4) = -i\lambda - i\delta\lambda + A_4(s) + A_4(t) + A_4(u) \quad (3.44)$$

missä

$$\begin{aligned} s &= (p_1 + p_2)^2 && \text{(Mandelstamin} \\ t &= (p_1 + p_3)^2 && \text{muuttujat)} \\ u &= (p_1 + p_4)^2 \end{aligned} \quad (3.45)$$

eli

$$G_{12}^{(4)} = -i\lambda - i\delta\lambda + \frac{3i\lambda}{32\pi^2} \left[\frac{2}{\epsilon} - \gamma_E + 2 + \ln \frac{4\pi\mu^2}{m^2} + F(s) + F(t) + F(u) \right] \quad (3.46)$$

$$F(x) = -\frac{1}{3} \left[1 + \frac{4m^2}{x} \right]^{1/2} \ln \frac{\left[\frac{4m^2}{x} + 1 \right]^{1/2} + 1}{\left[\frac{4m^2}{x} + 1 \right]^{1/2} - 1}$$

$\delta\lambda$ määräytyy (kertaluvun λ) renormalisaatio-ehdosta.

MS-skeema

$$\delta\lambda^{MS} = \frac{3\lambda}{16\pi^2} \frac{1}{\epsilon} \quad (3.47)$$

\overline{MS} -skeema

$$\delta\lambda^{\overline{MS}} = \frac{3\lambda}{32\pi^2} \left(\frac{2}{\epsilon} - \gamma_E + \ln 4\pi \right) \quad (3.48)$$

Usein käytetään myös ehtoja

$$G_{\mu\nu}^{(4)}(0,0,0,0) = -i\lambda$$

tai

$$G_{\mu\nu}^{(4)}(p_1^2 = p_2^2 = p_3^2 = p_4^2 = -m^2) = -i\lambda$$

niin että siirtyessä Minkowskin avaruuteen

$$p^2 = (p^0)^2 - \vec{p}^2 = m^2, \text{ eli ollaan massakuorella.}$$

Olemme siis löytäneet vastatermit s.e.

$$\begin{aligned} \mathcal{L}_R &= \mathcal{L}_D + \mathcal{L}_{CT} \\ &= \frac{1}{2} (\partial_\mu \varphi)^2 - \frac{1}{2} (m^2 + \delta m^2) \varphi^2 - \frac{1}{4!} (\lambda + \delta\lambda) \varphi^4 \end{aligned} \quad (3.47)$$

on 1-luoppitasolla äärellinen

Läskua voidaan jatkaa korkeampaan kertalukuun,

esim. 2-pistefunktion $\mathcal{O}(\lambda^2)$:

$$\frac{\text{O}}{(-i\lambda)^2} + \frac{\text{O}}{(-i\lambda)(-i\delta m^2)} + \frac{\text{O}}{(-i\delta\lambda)} + \text{O}$$

Nämä tuottavat $\frac{1}{\epsilon}$, $\frac{1}{\epsilon^2}$ -divergenssejä, mitkä

kumotaan lisäämällä korkeamman kertaluvun

korjauksia vastatermeihin.

Voimme yleensä ottaen kirjoittaa

$$\mathcal{L} = \frac{1}{2} (1+A) (\partial_\mu g)^2 + \frac{1}{2} (1+B) m^2 g^2 + \frac{1}{4!} \lambda (1+C) g^4$$

missä vastatermit A, B, C voidaan kehittää

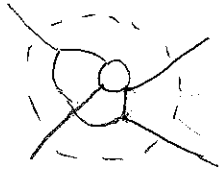
$$A = \sum_0^\infty \frac{a_n}{\epsilon^n} + \text{termejä} \rightarrow 0, \text{ kun } \epsilon \rightarrow 0$$

$$a_n = \sum_{l=1}^n \lambda^l f(p^2, m^2)$$

Teoria on renormalisoituna, koska kaikki vastatermit ovat alkup. nulloja.

(kopioitu 21.10)[↑]

Tarkastellaan yleistä teoriaa ja yleisen Feynmanin graafi:



verteksit	V	$ $	lep
ulkoiset jalot	E	$ $	"
sis. viivat	I	$ $	"
lenkit	L	$ $	"

Verteksit antavat impulssin säilymisvelaatioita;

$$1 \text{ velatio} = \sum_{\text{ulk. jalot}} p_i = 0. \quad \text{Siis } I \text{ sis. impulssia}$$

toteuttaa $V-1$ velatiota, joten

$$L = I - (V-1) \quad (3.50)$$

impulssia jää jäljelle = # lenkit.

Koska lenkki-integraali $\propto p^d$ ($\int dp^d \sim p^d$) ja propagaatit $\propto p^{-2}$, graafin näennäinen divergenssi

$$D = dL - 2I = (d-2)I - d(V-1) \quad (3.51)$$

Jos kaikissa verteksissä on N jalkaa,

$$N \cdot V = E + 2I \Rightarrow I = \frac{1}{2}(NV - E)$$

$$\text{ja } D = d - \frac{1}{2}(d-2)E + \left(\frac{1}{2}(d-2)N - d\right)V \quad (3.52)$$

$$\left(\frac{1}{2}dN - Nd\right)$$

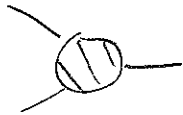
$\lambda\phi^4$ -teoriassa $N=4$, joten

$$D = d - \frac{1}{2}(d-2)E + (d-4)V \quad (3.54)$$

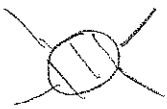
kun $d=4$, aste riippuu vain E :stä:



$D=2$ kvadraattinen



ei esiinny



$D=0$ log-divergenssi

Jos $D < 0$, ei voida vielä automaattisesti päätellä että diagrammi konvergoi. Myös sen kaikille alidiagrammeille täytyy olla $D < 0$.

Nyt esim. $\lambda\phi^6$ -teoriassa $N=6$, ja

$$D = d - \frac{1}{2}(d-2)E + (2d-6)V$$

kun $d=4$, V :n kerroin $= 2 > 0$, ja vertelkien lisääminen johtaa kasvaviin divergensseihin.

\Rightarrow teoria ei renormalisituva

(on jos $d \leq 3$)

Yleisesti, jos $\underline{(d-2)N-2d \leq 0}$ niin
divergenssien määrä ei kasva äärettömäksi;
(ja teoria renormalisoituu).

Jos $(d-2)N-2d < 0$, diagrammojen
missä E jalkaa divergenssi laskee kuin lisätään
vertiksejä (lenkkejä). Esim. $\lambda\phi^4$ 3-dim:

$$\frac{0}{i\lambda} \quad D = 3 - \frac{E}{2} - V = 1 \quad \text{lineaarinen}$$

$$\text{---} \quad D = 3 - 1 - 2 = 0 \quad \text{logaritminen}$$

$$\text{---} \quad D = 3 - 1 - 3 = -1 \quad \text{suppenee}$$

(sen sijaan esim. --- divergoi, koska viimeinen
silmukka divergoi. Divergenssi on sama kuin ---)

Ehto $(d-2)N-2d \leq 0$ (*) voidaan ilmaista toisinkin:

$$S = \int d^d x \left[(\partial_\mu \phi)^2 + \dots \right] \quad \text{dimensioton} \Rightarrow [\phi] = \text{GeV}^{(d-2)/2}$$

$$+ \lambda \phi^N \quad \Rightarrow [\lambda] = \text{GeV}^{d-N(d-2)/2}$$

Eli, jos (*) voimassa, $[\lambda] = \text{GeV}^a$, $a \geq 0$.

Jos kytkinvakion λ dimensio < 0 (energian
yksiöyksissä),
teoria ei renormalisoituu

4. QED

4.1. Vapaat fermionit

- Vapaa fermionikenttä ψ toteuttaa Diracin
yhdtälön

$$\underline{(i\not{\partial} - m)\psi(x) = 0} \quad (4.1)$$

missä $\not{\partial} \equiv \gamma^\mu \partial_\mu$ (4.2)

ja γ^μ ovat 4×4 -matrisia jotka toteuttavat
ns. Cliffordin algebran

$$\boxed{\{\gamma^\mu, \gamma^\nu\} \equiv \gamma^\mu \gamma^\nu + \gamma^\nu \gamma^\mu = 2\eta^{\mu\nu} \cdot \mathbb{1}} \quad (4.3)$$

$\psi(x)$ on luonnollisesti 4-komponenttiveljeksi.

γ -matrisit eivät ole uniikkia. Me käytämme
tässä Weylin esitystä

$$\gamma^0 = \begin{pmatrix} 0 & 1 \\ 1 & 0 \end{pmatrix} \quad \gamma^i = \begin{pmatrix} 0 & \sigma^i \\ -\sigma^i & 0 \end{pmatrix} \quad (4.4)$$

missä σ^i ovat Paulin sigma-matrisia (2×2)

$$\sigma^1 = \begin{pmatrix} 0 & 1 \\ 1 & 0 \end{pmatrix} \quad \sigma^2 = \begin{pmatrix} 0 & -i \\ i & 0 \end{pmatrix} \quad \sigma^3 = \begin{pmatrix} 1 & 0 \\ 0 & -1 \end{pmatrix} \quad (4.5)$$

Nämä toteuttavat $[\sigma^i, \sigma^j] = i\epsilon^{ijk} \sigma^k$

Jos $\psi(x)$ toteuttaa Diracin yhtälön, se toteuttaa myös Klein-Gordonin: keho Dirac $(-i\not{\partial} - m)$:llä:

$$\begin{aligned} 0 &= (-i\not{\partial} - m)(i\not{\partial} - m)\psi \\ &= \left(\frac{1}{2}\{\gamma^\mu, \gamma^\nu\} \partial_\mu \partial_\nu - m^2\right)\psi = (\partial^2 + m^2)\psi \end{aligned} \quad (4.6)$$

Diracin yhtälö on Lorentz-invariantti,

ψ muuttuu spin- $1/2$ esityksen mukaan.

ψ muuttuu kuten $\Lambda_{1/2}\psi$, missä

$$\Lambda_{1/2} = \exp\left(-\frac{i}{2}\omega_{\mu\nu} S^{\mu\nu}\right) \quad (4.7)$$

$$S^{\mu\nu} = \frac{i}{4} [\gamma^\mu, \gamma^\nu]$$

$S^{\mu\nu}$ toteuttaa Lorentz-ryhmän kommutatiovelaatit sivu 5. (HT).

$$\text{Nyt } \Lambda_{1/2}^{-1} \gamma^\mu \Lambda_{1/2} = \underbrace{\exp\left(-\frac{i}{2}\omega_{\alpha\beta} J^{\alpha\beta}\right)^\mu}_\nu \gamma^\nu$$

$$\text{missä } (J^{\mu\nu})_{\alpha\beta} = i(\delta^\mu_\alpha \delta^\nu_\beta - \delta^\mu_\beta \delta^\nu_\alpha)$$

on 4-vektorien Lorentz-muunnosten generaattori

$$\Rightarrow (i\not{\partial} - m)\psi = 0 \quad \text{on Lorentz-invariantti}$$

Vapaat fermionit

Tasoaalto on Diracin yhtälön vathaisuu.

Olkoon

$$\psi = U(p, s) e^{-ip \cdot x}, \quad p^2 = m^2, \quad \underline{p^0} > 0 \quad (4.7)$$

missä U on 4-komponenttinen vektori.

$$\text{Nyt} \quad (\not{p} - m)U(p) = 0 \quad (4.8)$$

Vastavasti jos $\psi = v e^{ip \cdot x}$, $p^2 = m^2$, $p^0 > 0$,
niin

$$(\not{p} + m)v(p) = 0 \quad (4.9)$$

$U(p, s)$ kuvaa hiukkasia, $v(p, s)$ antihiukasia.

Merkinnällä $\sigma = (1, \vec{\sigma})$ ja $\bar{\sigma} = (1, -\vec{\sigma})$

(4.8) voidaan kirjoittaa muotoon

$$\begin{pmatrix} -m & p \cdot \sigma \\ p \cdot \bar{\sigma} & -m \end{pmatrix} U = 0 \quad (4.10)$$

Nyt $(p \cdot \sigma)(p \cdot \bar{\sigma}) = p^2 = m^2$, ja

(4.10):n vathaisuus on

$$U_s = \begin{pmatrix} \sqrt{p \cdot \sigma} \cdot \xi_s \\ \sqrt{p \cdot \bar{\sigma}} \cdot \xi_s \end{pmatrix} \quad (4.11)$$

missä ξ_s on 2-komponenttinen vektori.

ξ_s on spin-vektori, operaattorilla

$$\frac{1}{2} \hat{S} \cdot \vec{\sigma}, \quad |\hat{S}|=1, \quad 2 \text{ ominaisarvoa } \pm \frac{1}{2}$$

Esim. spin 3-akselin suuntaan: $\frac{1}{2} \sigma^3$, ja ominaisvektorit $\xi^{+1/2} \propto \begin{pmatrix} 1 \\ 0 \end{pmatrix}$; $\xi^{-1/2} \propto \begin{pmatrix} 0 \\ 1 \end{pmatrix}$

Normitus:

Määritellään $\boxed{\bar{\psi} = \psi^\dagger \gamma^0}$ (4.12)

Nyt $\bar{\psi} \psi$ on Lorentz-invariantti, $\psi^\dagger \psi$ ei ole!

Asetetaan

$$\bar{\psi} \psi = \bar{U} U = 1 \quad (4.13)$$

joten $\xi^\dagger \xi = \frac{1}{2m}$ (Pestien $\xi^\dagger \xi = 1$)

Samaoin saadaan

$$v_s = \begin{pmatrix} \sqrt{p \cdot \sigma} \cdot \eta_s \\ -\sqrt{p \cdot \bar{\sigma}} \cdot \eta_s \end{pmatrix} \quad (4.14)$$

saamme ortogonaalisuusäännöt

$$\bar{U}^r(p) U^s(p) = \delta^{rs}$$

$$\bar{v}^r(p) v^s(p) = -\delta^{rs}$$

$$\bar{U}^r v^s = \bar{v}^r U^s = 0$$

$$(U^r)^\dagger U^s = p^0/m \delta^{rs} = E_{\vec{p}}/m \delta^{rs}$$

(4.15)

Spin-summat:

$$\sum_s \underline{u^s(p) \bar{u}^s(p)} = 4 \times 4 \text{-matrisi}$$

$$= \frac{1}{2m} \begin{pmatrix} m & p \cdot \sigma \\ p \cdot \bar{\sigma} & m \end{pmatrix} = \underline{\underline{\not{p} + m}} \quad (4.15)$$

$$\text{Silla} \quad \sum_s \zeta_s \zeta_s^\dagger = \frac{1}{2m}$$

Esiintyy useim lauluissa.

Samaoin

$$\sum_s \underline{v^s \bar{v}^s} = \underline{\underline{\not{p} - m}} \quad (4.16)$$

4.2 Polkuintegraali fermioneille

Fermionien kanonisten antikommutaatiovelaustien vuoksi fermionivaikutus kirjoitetaan antikommutoitien

Grassmann-lukujen avulla: olkoon

C_i joukko Grassmann-lukuja; myt

$$C_i C_j = -C_j C_i \Leftrightarrow \{C_i, C_j\} = 0 \quad (4.17)$$

Siis $C^2 = 0$ Grassmann-luvuille.

Samaan funktiolle $f(C)$

$$f(C) = f(0) + f'(0) \cdot C = A + B C \quad (4.18)$$

Jos f on N Grassmann-luvun funktio,

$$f(C_1, \dots, C_N) = f^{(0)} + f_i^{(1)} C_i + f_{ij}^{(2)} C_i C_j + \dots + f^{(N)} C_1 C_2 \dots C_N \quad (4.19)$$

Määritellään myös derivaatta

$$\left\{ \frac{\partial}{\partial C_i}, C_j \right\} = \delta_{ij}, \quad \left\{ \frac{\partial}{\partial C_i}, \frac{\partial}{\partial C_j} \right\} = 0 \quad (4.20)$$

ja integraali:

$$\int dC_i = 0, \quad \int dC_i C_j = \delta_{ij} \quad (4.21)$$

Tämä vastaa $\int_{-\infty}^{\infty} dg$ skalaarikentälle

Viellä integrointijärjestys:

$$\int dC_1 dC_2 C_2 C_1 = 1 = - \int dC_2 dC_1 C_2 C_1 \quad (4.22)$$

Määritellään kompleksiset Grassmann-luvut

$$\theta = \frac{\theta_1 + i\theta_2}{\sqrt{2}}, \quad \theta^* = \frac{\theta_1 - i\theta_2}{\sqrt{2}} \quad (4.23)$$

missä θ_1 ja θ_2 "reaalisia" Grassmann-lukuja.

Nyt

$$(\theta\eta)^* \stackrel{\text{määr.}}{=} \eta^* \theta^* = -\theta^* \eta^* \quad (4.24)$$

Kuten z, z^* , myös Grassmann-luvuille θ, θ^* riippumattomia.

Gaussin integraali:

$$\int d\theta^* d\theta e^{-b\theta^*\theta} = b \quad (4.25)$$

Jos M on $N \times N$ -matriisi, niin

$$\int \left[\prod_i^N d\theta_i^* d\theta_i \right] e^{-\theta_i^* M_{ij} \theta_j} = \int \left[\prod_i^N d\theta_i^* d\theta_i \right] \left(1 - \theta_i^* M_{ij} \theta_j + \dots \right. \\ \left. + \frac{(-1)^N}{N!} (\theta_i^* M_{ij} \theta_j)^N \right)$$

$$= \frac{1}{N!} \epsilon^{ijk\dots} \epsilon^{abc\dots} M_{ia} M_{jb} \dots$$

$$= \epsilon^{ijk\dots} M_{i1} M_{j2} \dots = \underline{\underline{\det M}} \quad (4.26)$$

Samaan (x, x^* Grassmann)

$$\int \left[\prod d\theta^* d\theta \right] e^{-\theta^{*T} M \theta + \theta^* x + x^* \theta} = Z \quad (4.27)$$

Sij. $\theta \rightarrow \theta - M^{-1}x$; $\theta^{*T} \rightarrow \theta^{*T} - x^{*T} M^{-1}$

Saamme

$$\int [\pi d\theta^* d\theta] e^{-\theta^{*T} M \theta + \theta^* \chi + \chi^* \theta}$$

$$= \int [\pi d\theta^* d\theta] e^{-\theta^{*T} M \theta - \chi^{*T} M^{-1} \chi} = \underline{\det M \cdot e^{-\chi^{*T} M^{-1} \chi}} \quad (4.28)$$

Siis saamme

$$\frac{d}{dx_i^*} \frac{d}{dx_j} Z \Big|_{\chi=0} = \int [\pi d\theta^* d\theta] e_i \theta_j^* e^{-\theta^{*T} M \theta}$$

$$= \underline{\det M \cdot (M^{-1})_{ij}} \quad (4.29)$$

Kiivoitetaan vapaan fermionikentän "klassinen" vaikutus

$$S[\psi, \bar{\psi}] = \int dx \bar{\psi} (i\not{\partial} - m) \psi \quad (4.30)$$

$\bar{\psi} = \psi^\dagger \gamma_0$, ψ Grassmann 4-spinoreita.

$\bar{\psi}$ ja ψ ovat riippumattomia, ja liikeyhtälöt (Dirac) soodan varioidaan $\bar{\psi}$ in suhteen.

Polkuintegraali Grassmann-lähteiden $\xi, \bar{\xi}$ avulla:

$$\underline{Z[\xi, \bar{\xi}] = Z[0]^{-1} \int \mathcal{D}\psi \mathcal{D}\bar{\psi} e^{iS[\psi, \bar{\psi}] + i \int dx (\bar{\xi} \psi + \bar{\psi} \xi)} \quad (4.31)$$

Täydentämällä \square ksi ja integroimalla (4.24), (4.28) saamme

$$\underline{Z[\bar{\psi}, \bar{\psi}] = \exp\left[-\int d^4x d^4y \bar{\psi}(x) S_F(x-y) \psi(y)\right]} \quad (4.32)$$

missä Feynmanin propagaattori

$$\underline{S_F(x-y) = \frac{i}{i\not{\partial} - m} = \int \frac{d^4p}{(2\pi)^4} \frac{i}{\not{p} - m + i\epsilon} e^{-ip \cdot (x-y)}} \quad (4.33)$$

missä edelleen

$$\frac{1}{\not{p} - m + i\epsilon} = \frac{\not{p} + m}{p^2 - m^2 + i\epsilon} \quad (4.34)$$

Siis S_F on Diracin yhtälön Greenin funktio,

$$\underline{(i\not{\partial} - m)S_F(x-y) = i\delta(x-y)}$$

Kiraalisyydet

Jos $m=0$, kirjoittamalla $\psi = \begin{pmatrix} \psi_L \\ \psi_R \end{pmatrix}$

ψ_L ja ψ_R eivät sekoitu vaikutuksessa (4.30)

Määrittelemällä

$$\gamma^5 = i\gamma^0\gamma^1\gamma^2\gamma^3 = \begin{pmatrix} -\mathbb{1} & 0 \\ 0 & \mathbb{1} \end{pmatrix} \quad (4.35)$$

↳ Weijlin esitys

$$\{\gamma^5, \gamma^\mu\} = 0 \quad ; \quad (\gamma^5)^2 = 1$$

$$\gamma^{5\dagger} = \gamma^5 \quad ; \quad (\gamma^{0\dagger} = \gamma^0, \gamma^{i\dagger} = -\gamma^i)$$

näemme että vaihtaus (4.30) on invariantti muunnoksissa

$$A) \quad \psi \rightarrow e^{i\theta} \psi \quad ; \quad \bar{\psi} \rightarrow \bar{\psi} e^{-i\theta} \tag{4.36}$$

ja

$$B) \quad \psi \rightarrow e^{i\theta\gamma^5} \psi \quad ; \quad \bar{\psi} \rightarrow \bar{\psi} e^{i\theta\gamma^5}$$

A) on voimassa myös jos $m \neq 0$, sitä vastaava Noetherin virta

$$j^\mu = \bar{\psi} \gamma^\mu \psi \tag{4.37}$$

vastaa säilyvää (sähkö)varausmomenttia.

B) on symmetria vain jos $m=0$. Tätä sanotaan kirvoisyymsymmetriaksi. Tätö vastaa Noetherin virta, akσιαalivirtavirta

$$j^{5\mu} = \bar{\psi} \gamma^\mu \gamma^5 \psi \tag{4.38}$$

Projektio-opeattorit $\frac{1}{2}(1-\gamma^5)$ ja $\frac{1}{2}(1+\gamma^5)$ projisoivat ψ_L :n ja ψ_R :n ψ :stä.

4.3 V(1) mittakehto

-95-

Sähkömagneettista kenttää kuvataan
Lagrangen tiheydellä

$$\mathcal{L} = -\frac{1}{4} F_{\mu\nu} F^{\mu\nu}$$

(4.39)

missä $F_{\mu\nu} = \partial_\mu A_\nu - \partial_\nu A_\mu$, A_μ mittakehto.

Tämä kytketään varattuihin fermioneihin (tai
skalaroneihin) käyttämällä kovarianttia derivaattaa

$$\partial_\mu \rightarrow D_\mu = \partial_\mu - ieA_\mu$$

(4.40)

Tämän avulla voimme kirjoittaa (elektronin)
QED:n Lagrangen

$$\mathcal{L}_{\text{QED}} = \bar{\psi} (i\not{D} - m) \psi - \frac{1}{4} F_{\mu\nu} F^{\mu\nu}$$

(4.41)

$$\not{D} = \gamma^\mu D_\mu$$

Voimme johtaa A_μ lle liikeyhtälön

$$\partial_\mu \frac{\delta \mathcal{L}}{\delta (\partial_\mu A_\nu)} - \frac{\delta \mathcal{L}}{\delta A_\nu} = 0 \quad \Rightarrow$$

$$\boxed{\partial_\mu F^{\mu\nu} = e \bar{\psi} \gamma^\nu \psi = j^\nu}$$

(4.42)

Käyttämällä $F^{0i} = E^i$; $F^{ij} = \epsilon^{ijk} B^k$

saamme (4.42) \Rightarrow Maxwellin yhtälöt. (HT)

j^0 = sähkövarustiheys, j^i = virtatiheys


e = elektronin varaus (dimensiostaan kun $\hbar=c=1$)

Lagrangen tiheys on $U(1)$ -mittainmuutuksen

lokaleissa muunnoksissa

$$\begin{cases} \psi \rightarrow e^{i\Lambda(x)} \psi \\ \bar{\psi} \rightarrow \bar{\psi} e^{-i\Lambda(x)} \\ A_\mu \rightarrow A_\mu + \frac{1}{e} \partial_\mu \Lambda \end{cases} \quad (4.43)$$

A_μ kuvaa vaihekulman muutosta kun kompleksivektori siirretään adiabaattisesti polkua s pitkin:



$$\psi \rightarrow e^{ie \int_x^{x'} ds^\mu A_\mu} \psi$$

infinitesimaalisesti $\psi \rightarrow (1 + ie \Delta s^\mu A_\mu) \psi$

Jos kuljetus tehdään pienen $\mu\nu$ -tason neliön ympäri,

$$\psi \rightarrow (1 + \Delta s^\mu \Delta s^\nu F_{\mu\nu}) \psi$$

$F^{\mu\nu} = 0$ kulma ei muutu, kaarennus = 0.
(vrt. yleinen suhteellisuusteoria).

$F^{\mu\nu} = 0 \Rightarrow A_\mu$ puhdas mitta, eli
muunnoksissa $A_\mu \rightarrow 0$ mittamuunnoksella.

Mittan kiinnitys

Jotta voimme laskea fotoninpropagaattia, meidän tulee päästä eroon mittakvivalenteista konfiguraatioista. $A_\mu \rightarrow A_\mu + \frac{1}{\epsilon} \partial_\mu \Lambda$.

Tämä saadaan aikaan Faddeev-Popov menetelmällä: Olkoon $G(A) = 0$ ehto joka kiinnittää Λ :n, esim. $G(A) = \partial_\mu A^\mu = 0$ (Lorentz-mitta).

$$\text{Asetetaan nyt } \int DA(x) \rightarrow \int DA(x) \delta(G(A)), \quad (4.44)$$

missä δ -funktio kiinnittää $G(A) = 0 \quad \forall x$.

(taulukkaan ottaen tästä tulee myös Jacobin determinantti $\left\| \frac{\partial G}{\partial A} \right\|$, mutta QED:ssä tämä ei vaikuta)

$$\text{olkkoon nyt } G(A) = \partial_\mu A^\mu(x) - w(x) \quad (4.45)$$

missä $w(x)$ on skalaarifunktio. Koska (4.45)

kiinnittää mittan $\forall w(x)$, voimme integroida w yli painofunktiolla $e^{-w^2/\xi}$, s.e. $w(x) = 0$ domtuoi:

$$\begin{aligned} \int DA \delta(G(A)) &\rightarrow \int Dw(x) \int DA(x) e^{-i \int d^4x \frac{w(x)^2}{2\xi}} \delta(G(A)) \\ &= \int DA(x) e^{-i \int d^4x \frac{1}{2\xi} (\partial_\mu A^\mu)^2} \end{aligned} \quad (4.46)$$

Tässä ξ on valitto.

Nyt mittakentälle (vapaille)

$$\begin{aligned}
 Z &= \int DA \exp \left[i \int d^4x \left[-\frac{1}{4} F_{\mu\nu} F^{\mu\nu} - \frac{1}{2\xi} (\partial_\mu A^\mu)^2 \right] \right] \\
 &= \int DA \exp \left\{ i \int d^4x \frac{1}{2} A_\mu \left[\partial^2 \eta^{\mu\nu} - \partial^\mu \partial^\nu \left(1 - \frac{1}{\xi} \right) \right] A_\nu \right\} \quad (4.47) \\
 &= \int DA(k) \exp \left\{ \frac{i}{2} \int \frac{d^4k}{(2\pi)^4} \tilde{A}_\mu(k) \left[-k^2 \eta^{\mu\nu} + k^\mu k^\nu \left(1 - \frac{1}{\xi} \right) \right] \tilde{A}_\nu(-k) \right\}
 \end{aligned}$$

Lisäämällä vaikutukseen lähdetermi

$$L \rightarrow -\frac{1}{4} F_{\mu\nu} F^{\mu\nu} - \frac{1}{2\xi} (\partial_\mu A^\mu)^2 + J_\mu A^\mu$$

täydentämällä $Z[J]$ neljäksi ja integroimalla

$$\text{saamme jälleen } Z[J] = \exp \left[-\frac{i}{2} \int dx dy J_\mu(x) D_F^{\mu\nu}(x-y) J_\nu(y) \right]$$

missä $D_F^{\mu\nu}$ on fotonipropagaattori.

Voimme myös lukea D_F :in suoraan (4.47)

$$\left(-k^2 \eta^{\mu\nu} + k^\mu k^\nu \left(1 - \frac{1}{\xi} \right) \right) \tilde{D}_F^{\nu\beta} = i \delta_\mu^\beta \quad (4.48)$$

mistä saamme

$$\tilde{D}_F^{\mu\nu}(k) = \frac{-i}{k^2 + i\epsilon} \left[\eta^{\mu\nu} - \left(1 - \frac{1}{\xi} \right) \frac{k^\mu k^\nu}{k^2} \right] \quad (4.49)$$

Huom! $-i$, skalaarin prop. oli $+i$!

$\xi = 1$: Feynmannin mitta

$\xi = 0$: Landauin mitta

} Suosittuja vaihtoja.

Jälleen

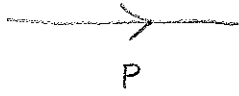
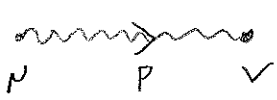
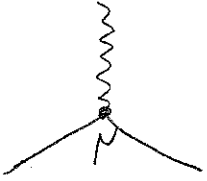


$$D_F^{\mu\nu}(x-y) = \int \frac{d^4k}{(2\pi)^4} \tilde{D}_F^{\mu\nu}(k) e^{-ik_\alpha(x-y)}$$

toteuttaa

$$\left[\partial^2 \eta_{\mu\nu} - \partial_\mu \partial_\nu \left(1 - \frac{1}{\xi} \right) \right] D_F^{\mu\nu}(x-y) = i \delta_\mu^\rho \delta(x-y)$$

Mikä tahansa mittainvariantin suureen lauseen tulos ei riipu ξ :n valinnasta.

Yhdistämällä tulokset voimme jakaa QED:n Feynmanin säännöt: (impulssiavaruudessa)

	$\frac{i}{\not{p} - m + i\epsilon}$	elektroni
	$\frac{-i\eta_{\mu\nu}}{p^2 + i\epsilon}$	fotoni (Feynmanin mitta)
	$-ie\gamma^\mu$	verteksi
	$\int \frac{d^4k}{(2\pi)^4} \cdot (-\text{Trace})$	suljettu fermionin leikki
	$\int \frac{d^4k}{(2\pi)^4}$	fotonin leikki
ulkoisen elektronin	$U(p, s)$ (sisään) $\bar{U}(p, s)$ (ulos)	anti-e ↓ $\bar{V}(p, s)$ $V(p, s)$
ulkoisen fotonin	ϵ_μ (sisään), ϵ_μ^* (ulos)	

+ Fermioneista tulee etumerkki

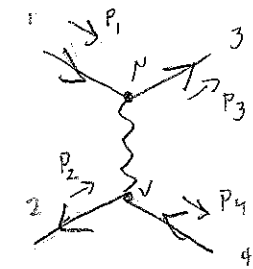
$\epsilon_\nu(p, \nu)$ on polarisointivektori, siis

$$A_\nu = \epsilon_\nu e^{-ip \cdot x}$$

Ulkoiset fotonit ovat transversaalisesti polarisoituneita, ts. $p \cdot \epsilon = 0$. Niillä on 2 polarisointitilaa,

$$\sum_{\text{polarisointit}} \epsilon_\nu^* \epsilon_\nu \rightarrow -\eta_{\mu\nu} \tag{4.50}$$

Esimerkkejä



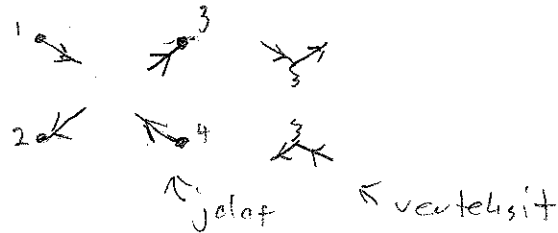
→ aika

e^+e^- -siirto

$$= (\bar{U}(p_3)(-ie\gamma^\mu)U(p_1)) \frac{-i\eta_{\mu\nu}}{(p_1-p_2)^2+i\epsilon} \times$$

$$(\bar{V}(p_2)(-ie\gamma^\nu)V(p_4))$$

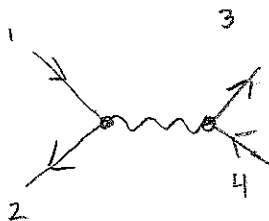
Symmetriatekijä:



1 menee 2 verteksiin jalkaan

$$\frac{2 \cdot 1 \cdot 1 \cdot 1}{2!} = 1$$

(4!) ei esiinny!

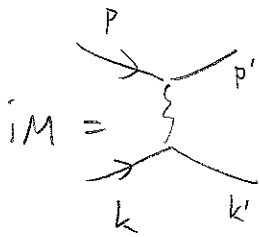


$$= (\bar{V}(p_2)(-ie\gamma^\mu)U(p_1)) \frac{-i\eta_{\mu\nu}}{(p_1+p_2)^2+i\epsilon} (\bar{U}(p_3)(-ie\gamma^\nu)V(p_4))$$

4.4. Coulomb - potentiaali

o lasketaan 1-fotonivaihto 2 elektronin

välillä:



$$iM = (-ie)^2 (\bar{U}(p') \gamma^\mu U(p)) \cdot \frac{-i\eta_{\mu\nu}}{(p'-p)^2} (\bar{U}(k') \gamma^\nu U(k))$$

Vertausi

e⁻ sisään ja ulos
= kompleksitulkinta

o Ei-relativistinen raja: $p^0 \approx m \gg p^i$

$$\bar{U}(p') \gamma^i U(p) \ll \bar{U}(p') \gamma^0 U(p) = U^\dagger(p') U(p) \approx \frac{E_p}{m} \approx 1$$

o jos $\vec{p}' = \vec{p} = 0$

myös $(p'-p)^2 \approx -|\vec{p}' - \vec{p}|^2$

ja $iM \approx -ie^2 \frac{1}{(\vec{p}' - \vec{p})^2} = -iV(\vec{q})$ (Bornin approksimaatio)

Fourier-muunnos antaa

$$V(\vec{x}) = \int \frac{d^3\vec{p}}{(2\pi)^3} \frac{e^2}{p^2} e^{i\vec{p} \cdot \vec{x}}$$

$$= \frac{e^2}{4\pi^2} \int_0^\infty dp p^2 \frac{e^{ipr} - e^{-ipr}}{ipr \cdot p^2} = \frac{e^2}{4\pi^2 i r} \int_{-\infty}^\infty dp \frac{e^{ipr}}{p}$$

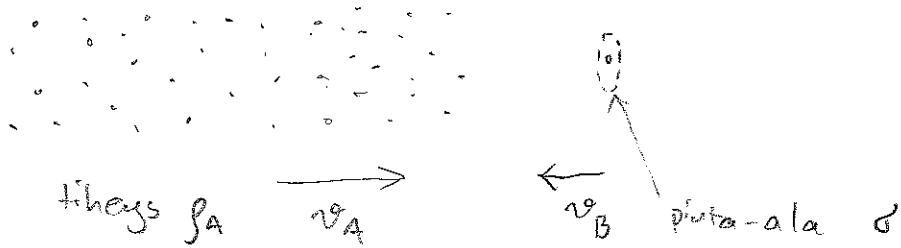
$$= \frac{e^2}{4\pi r} = \frac{\alpha}{r} \quad \alpha = e^2/4\pi = 1/137$$

o Hylkeivä Coulomb-potentiaali. Oh.

o Jos antihitu \rightarrow vaihtovaihto (pal. myöh.)

4.5 Vaikutusala ja S-matriisi

- Vaikutusala: "pinta-ala missä törmäys tapahtuu"



- Omitujen A kum (i:n) läpi, eli törmäysten kum:

$$N = \sigma \cdot \rho_A |v_A - v_B| \cdot \tau$$

↑
aika

- Differentiaalinen vaikutusala:

$$\frac{d\sigma}{\prod_F d^3k_F} ; \quad \sigma = \int d^3k_F \frac{d\sigma}{d^3k_F}$$

- Kuinka vaikutusala lasjetaan kentäteorioissa?

hidut $A, B \rightarrow N$ hitua

$$d\sigma = \frac{1}{2E_A 2E_B |v_A - v_B|} \left(\prod_F \frac{d^3p_F}{(2\pi)^3} \frac{1}{2E_F} \right) \times |M|^2 (2\pi)^4 \delta(p_A + p_B - \sum_F p_F)$$

(9.50)

missä

$$iM(p_{A,B} \rightarrow p_F) = \sum (\text{amputoidut, yhtenäiset Feynmanin diagrammit})$$

- kaikki hidut tuovat $\frac{1}{2E}$

- $\left(\prod_F \frac{d^3p_F}{(2\pi)^3} \right) \cdot \delta(p - \sum_F p_F)$ Lorentz-invariantti fosiavaruus

Mistä tulee?

$$\langle \bar{p}_f | \bar{p}_i \rangle_{\text{sisään ulos}} = \langle \bar{p}_f | \hat{S} | \bar{p}_i \rangle = \underline{S\text{-matrisi}}$$

- S voidaan jakaa osiin $S = \mathbb{1} + iT$, missä iT on kiinnostava sivontaosa. Nyt

$$\langle \bar{p}_f | iT | \bar{p}_i \rangle = (2\pi)^4 \delta^{(4)}(P_{\text{TOT}}) iM(p_i \rightarrow p_f) \quad (4.51)$$

iM = summa amputoiduista Feynmanin diagrammeista.

- Nyt vapaille hiukille $|\bar{p}\rangle = \sqrt{2E_{\bar{p}}} a_{\bar{p}}^+ |0\rangle$. Näin
siksi jotta $\langle 0 | \phi(x) | \bar{p} \rangle = e^{ip \cdot x}$ (katso (2.7))

Siis 1-hiukkeistoille $\mathbb{1} = \int \frac{d^3k}{(2\pi)^3} \frac{1}{2E_k} |\bar{k}\rangle \langle \bar{k}|$.

Tällä normalisoinnilla differentiaalinen todennäköisyys

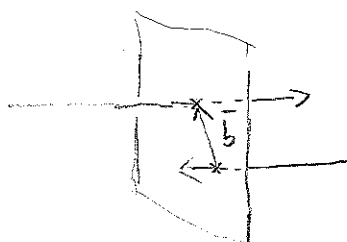
$$P(A, B \rightarrow F) = \left(\pi \frac{d^3\bar{p}_f}{(2\pi)^3} \frac{1}{2E_{\bar{p}_f}} \right) |\langle \bar{p}_1 \bar{p}_n | iT | \bar{p}_A \bar{p}_B \rangle|^2 \quad (4.52)$$

$\equiv \{dP_f\}$

Nyt, edellisen sivun systeemissä, meillä on yksi B-hita ja tiheys ρ_A A-hituja. Tönnösten lukumäärä ajossa τ

$$N = \sum_{\text{ohitukset}} P_i = \tau |v_A - v_B| \rho_A \int d^2b P(b)$$

missä \vec{b} on impulsi parametri. Siis



$$\sigma = \int d^2b P(b)$$

Jotta saamme homomasta tallelmaa korvataan
 alkutila $|k_A, k_B\rangle$ aaltopaketeilla jotta nyt
 k_A :n ja k_B :n ympärillä; ja ϕ_A^b :llä on tönnäysparametri
 b .

$$|\phi_A^b \phi_B\rangle = \int \frac{d^3\bar{k}}{(2\pi)^3} \frac{\phi_A^b(\bar{k})}{\sqrt{2E_{\bar{k}}}} \int \frac{d^3\bar{p}}{(2\pi)^3} \frac{\phi_B(\bar{p})}{\sqrt{2E_{\bar{p}}}} |\bar{k} \bar{p}\rangle$$

Siis

$$d\delta = \{d p_F\} \int d^2 b \int_{\bar{k}_A} \phi_A^b(\bar{k}_A) \int_{\bar{k}_B} \phi_B(\bar{k}_B) \int_{\bar{k}'_A} \phi_A^{b*}(\bar{k}'_A) \int_{\bar{k}'_B} \phi_B^*(\bar{k}'_B) \\ \times \langle p_F | i | k_i \rangle \langle p_F | i | k'_i \rangle^* \quad (4.53)$$

Integrooli tönnäysparametrin yli antaa δ -funktion
 $(2\pi)^2 \delta^{(2)}(k_A^\perp - k'_A{}^\perp)$. Tämä tulee siitä että
 voimme olettaa $\phi_A^b(\bar{k}_A) \rightarrow \phi_A^0(\bar{k}_A) e^{i k_A^\perp \cdot \bar{b}}$, eli
 aaltopaketti on sama \bar{b} :stä riippumatta, vain
 shiftattu. $\langle 1 \rangle$ -tekijät antavat myös δ -funktioita
 (4.51). Voimme integroida \bar{k}'_A :n ja \bar{k}'_B :n yli,
 saamme $\bar{k}'_B{}^\perp = k_B^\perp$ ja

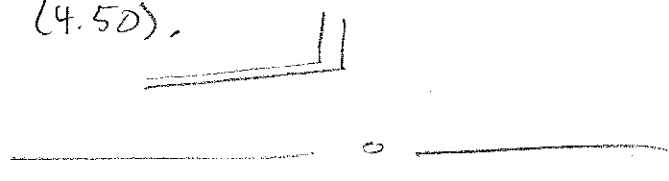
$$\int d k_A'^z d k_B'^z \delta(k_A'^z + k_B'^z - \sum_f p_f^z) \delta(E_A' + E_B' - \sum_f E_f) \\ = \int d k_A'^z \delta(\sqrt{\bar{k}_A^2 + m_A^2} + \sqrt{k_B'^z{}^2 + m_B^2} - \sum E_f) \quad k_B'^z = \sum p_f^z - k_A'^z \\ = \left| \frac{k_A'^z}{E_A'} - \frac{k_B'^z}{E_B'} \right|^{-1} = |v_A - v_B|^{-1} \quad (4.54)$$

k-integrooiteista jää jäljelle

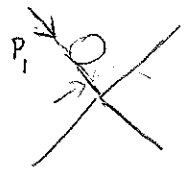
$$\int \frac{d^3 \vec{k}_A}{(2\pi)^3} \frac{|\phi_A(k_A)|^2}{2E_{\vec{k}_A}} \rightarrow \frac{1}{2E_A}$$

Jos $\phi_A(\vec{k}_A)$ on pihittynyt p_A ympärille.

Siis \Rightarrow (4.50).



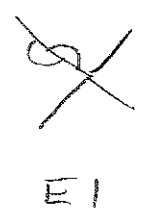
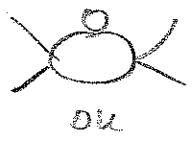
Ampu taitujen diagrammien ulkoiset jalat eivät saa sisältää leikkorajauksia: esim.



nuolella merkity propagaattori antaa $\frac{i}{p^2 - m^2} = \infty$, sillä $p = p_1$ ja $p_1^2 = m^2$.

ko. diagrammissa silmukka kuuluu itse asiassa yksisilmukhostilan rakenteeseen vuorovaikutuksessa teoriassa, siis tilaan $|p\rangle$.

Esim.



Jos lopputilassa on 2 hiukkaa, voimme siirtää CM-koordinaatistoon missä $\vec{p}_2 = -\vec{p}_1$, ja

$$\int_0^\infty \frac{d p_1}{(2\pi)^3} p_1^2 d\Omega \frac{1}{2E_1 2E_2} (2\pi) \delta(E_{CM} - E_1 - E_2)$$

missä $E_1 = \sqrt{p_1^2 + m_1^2}$, $E_2 = \sqrt{p_1^2 + m_2^2}$

$$= \int d\Omega \frac{p_1^2}{16\pi^2 E_1 E_2} \left(\frac{p_1}{E_1} + \frac{p_1}{E_2} \right)^{-1} = \int d\Omega \frac{1}{16\pi^2} \frac{p_1}{E_{CM}}$$

missä puolestaan p_1 toteuttaa $E_1 + E_2 = E_{CM}$.

Sis nyt

$$\left(\frac{d\sigma}{d\Omega} \right)_{CM} = \frac{1}{2E_A 2E_B |v_A - v_B|} \frac{|\vec{p}_1|}{(2\pi)^2 4E_{CM}} |M|^2 \quad (4.55)$$

Jos vielä $m = m_A = m_B = m_1 = m_2$, $2E_A = 2E_B = 2E_1 = E_{CM}$

$|v_A - v_B| = 2|v_A|$ ja $|\vec{p}_1|/|v| = E$

$$\left(\frac{d\sigma}{d\Omega} \right)_{CM} = \frac{1}{64\pi^2 E_{CM}} |M|^2 \quad (4.56)$$

Siis esim. λg^4 -teoriassa $2 \rightarrow 2$ sivonta

$$iM = \text{X} = -i\lambda \quad (+ \mathcal{O}(\lambda^2))$$

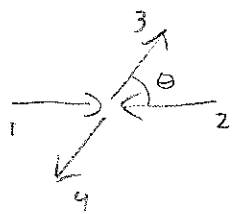
$$\left(\frac{d\sigma}{d\Omega}\right)_{CM} = \frac{\lambda^2}{64\pi^2 E_{CM}} \quad , \quad E_{CM} = 2\sqrt{p^2 + m^2}$$

Tai λg^3 $2 \rightarrow 2$ sivonta keuhkeluussa λ^2 :

$$iM = \begin{array}{c} s \\ \text{---} \\ \text{---} \\ \text{---} \end{array} + \begin{array}{c} t \\ \text{---} \\ \text{---} \\ \text{---} \end{array} + \begin{array}{c} u \\ \text{---} \\ \text{---} \\ \text{---} \end{array} \quad \text{Mandelstam} \quad \left(\frac{6 \cdot 2 \cdot 3!}{(3!)^2 \cdot 2!} \right)$$

$$= (-i\lambda)^2 \left(\frac{i}{(p_1 + p_2)^2 - m^2} + \frac{i}{(p_1 - p_3)^2 - m^2} + \frac{i}{(p_1 - p_4)^2 - m^2} \right)$$

CM-frame: $\vec{p}_2 = -\vec{p}_1 \Rightarrow (p_1 + p_2)^2 = 4p^2 = 4E_1^2$.



$$(p_1 - p_3)^2 = -(\vec{p}_1 - \vec{p}_3)^2 = -2p^2 + 2\vec{p}_1 \cdot \vec{p}_3 = -2p^2(1 - \cos\theta)$$

$$(p_1 - p_4)^2 = -2p^2(1 + \cos\theta)$$

$$\Rightarrow iM = -i\lambda^2 \left(\frac{1}{4p^2 + 3m^2} + \frac{-1}{2p^2(1 - \cos\theta) + m^2} + \frac{-1}{2p^2(1 + \cos\theta) + m^2} \right)$$

Asetetaan $m=0$: $iM = i\lambda^2 \frac{\sin^2\theta - 4}{4p^2 \sin^2\theta}$

ja $d\sigma \propto |M|^2$

$\leftarrow \infty$ jos $\theta \rightarrow 0$,
johtuu $m \rightarrow 0$ ja
t-kaukana.

4.6 Fermionietumerkki

- Fermioneja sisältävät diagrammit saavat vielä etumerkin ± 1 , jota em. Feynmanin säännöt eivät sisällä.
- Jos 1 diag., normaalisti ei väliä; mutta jos iM :ssä enemmän kuin 1 graafi merkittävä.

Esim. $G^{(4)}(x_1, x_2; x_3, x_4) = \langle 0 | T(\psi(x_1)\psi(x_2)\bar{\psi}(x_3)\bar{\psi}(x_4)) | 0 \rangle$

- Vaikutuksen lähdetermiit ovat $e^{i \int dx (\bar{J}\psi + \bar{\psi}J)} = A$

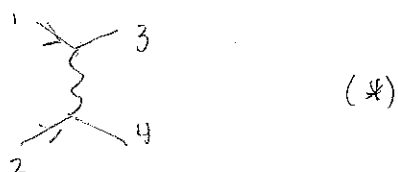
Joten $\frac{-i\partial}{\partial J_x} A = \psi_x A$; $\frac{i\partial}{\partial J_y} A = \bar{\psi}_y A$ (4.54)

Ja $\frac{-i\partial}{\partial J_x} \frac{i\partial}{\partial J_y} A = \psi_x \bar{\psi}_y A$ jne.

Siiis $G^{(4)}(x_1, x_2; x_3, x_4) = \frac{\bar{\partial}_1 \bar{\partial}_2 \partial_3 \partial_4 Z[J]}{Z[J=0]}$

missä $\bar{\partial}_1 \equiv \frac{-\partial}{\partial J(x_1)}$; $\partial_3 \equiv \frac{\partial}{\partial J(x_3)}$

- Katsotaan nyt esim. graafia



- Lagrangen vuorovaikutusosa on

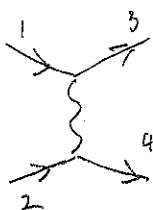
$$L_I(\bar{\psi}, \psi) = \bar{\psi}_x i e A_x \psi_x$$

- Nyt $Z[J] = e^{i \int dx d_I \left(\frac{i\partial}{\partial J_x}, \frac{-i\partial}{\partial J_x} \right)} Z_0[J]$ (4.58)

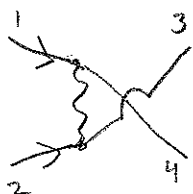
Siis jos vaihdetaan $\bar{\partial}_1 \leftrightarrow \partial_4$, viivat eivät leikkaa $\rightarrow (-1)$

lisäksi $\underbrace{\partial_a \bar{\partial}_b}_{(-1)} = - \underbrace{\bar{\partial}_b \partial_a}_{(-1)}$. Näitä 2 $\rightarrow (-1)^2$

Siis



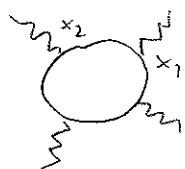
$$\bar{\partial}_1 \bar{\partial}_2 \partial_3 \partial_4 (\partial \bar{\partial})_x (\partial \bar{\partial})_y \rightarrow (-1)$$



$$\bar{\partial}_1 \bar{\partial}_2 \partial_3 \partial_4 (\partial \bar{\partial})_x (\partial \bar{\partial})_y \rightarrow (+1)$$

↑
erilainen merkki!

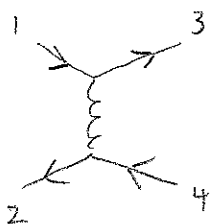
Ja suljettu leikki -ei ulkoisia jalkoja



$$(\partial \bar{\partial})_{x_1} (\partial \bar{\partial})_{x_2} (\partial \bar{\partial})_{x_3} \dots (\partial \bar{\partial})_{x_n}$$

Yksi $\partial \bar{\partial} \rightarrow \bar{\partial} \partial \Rightarrow (-1)$, eli -trace

Antihiukkeen:



$$\bar{\partial}_1 \bar{\partial}_2 \partial_3 \bar{\partial}_4 (\partial \bar{\partial})_x (\partial \bar{\partial})_y \rightarrow (+1)$$

Tässä oli sama järjestys (x_1, x_2, x_3, x_4) kuin yllä, jotta tulos olisi vertailukelpoinen.

- Huom: kontaktio

$$\underbrace{(\partial_x \bar{\partial}_x)}_{\square} \rightarrow \begin{array}{c} \bigcirc \\ \downarrow \\ \sum p=0 \end{array}$$

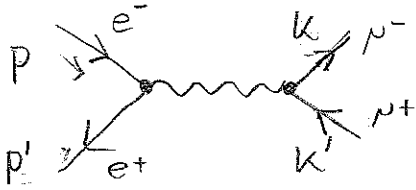
mikä ei esiinny QED:n siirrossä.

- Samoin suora ulkoisten jalkojen keskinäinen kontaktio \rightarrow epäyhtenäisen diagramma. Ei tarpeen.

4.7 Perussprosessit

$$e^+ e^- \rightarrow \mu^+ \mu^-$$

Feynmanin mittassa



$$\bar{v}^{s'}(p') (-ie\gamma^\mu) U^s(p) \frac{-im_{\mu\nu}}{(p+p')^2} \times$$

$$\bar{U}^\nu(k) (-ie\gamma^\nu) v^{s'}(k') = iM$$

M^* varten tarvitsemme

$$\underline{(\bar{v} \gamma^\mu U)^*} = U^\dagger \gamma^{0\dagger} \gamma^0 v = U^\dagger \gamma^0 \gamma^\mu v = \underline{\bar{U} \gamma^\mu v} \quad (4.59)$$

Siis

$$|M|^2 = \frac{e^4}{(p+p')^4} (\bar{v}(p') \gamma^\mu U(p) \bar{U}(p) \gamma^\nu v(p')) (\bar{U}(k) \gamma_\mu v(k') \bar{v}(k') \gamma_\nu U(k))$$

Jos nyt ei havaita alku/loppu -spintiloja, summataan kaikkien s, ν, s', ν' -indeksien yli. Nyt (4.15)

$$\sum_s U^s(p) \bar{U}^s(p) = \not{p} + m$$

$$\sum_s v^s(p) \bar{v}^s(p) = \not{p} - m$$

(4.60)
 Huom! Normitus (4.15) muuttanut! $\bar{U}U = 2m$

Siis

$$\frac{1}{2} \sum_s \frac{1}{2} \sum_{s'} \sum_\nu \sum_{\nu'} |M|^2$$

↑
 keskiarvo alkuehtojen spinistä!
 ← summa loppuehtojen spinistä!

$$\underline{N_{yt}} \quad (\bar{v} \gamma^\mu U \bar{U} \gamma^\nu v) = \text{tr}(\bar{v} \gamma^\mu U \bar{U} \gamma^\nu v)$$

$$= \text{tr}(\gamma^\mu U \bar{U} \gamma^\nu v \bar{v}) \quad (4.61)$$

joten spin-summan jälkeä

$$|M|^2 = \frac{1}{4} \frac{e^4}{(p+p')^4} \text{tr}[\gamma^\mu (\not{p}+m) \gamma^\nu (\not{p}'-m)] \text{tr}[\gamma_\mu (\not{k}'-m) \gamma_\nu (\not{k}+m_\mu)]$$

Nyt $\text{tr}(\gamma^\mu \gamma^\nu \gamma^\rho \gamma^\sigma) = 4\eta^{\mu\nu} \eta^{\rho\sigma} - 4\eta^{\mu\rho} \eta^{\nu\sigma} + 4\eta^{\mu\sigma} \eta^{\nu\rho}$

joten $\text{tr}[\gamma^\mu \not{p} \gamma^\nu \not{p}'] = 4p^\mu p'^\nu + 4p^\nu p'^\mu - 4\eta^{\mu\nu} p \cdot p'$

$$\text{tr}[\gamma^\mu \gamma^\nu m^2] = 4\eta^{\mu\nu} m^2$$

$$\frac{1}{4} \sum_{\text{spin}} |M|^2 = \frac{4e^4}{(p+p')^4} (2p \cdot k p' \cdot k' + 2p \cdot k' p' \cdot k + 2m_\mu^2 p \cdot p' + 2m_e^2 k \cdot k')$$

loitetaan
 $m_e \rightarrow 0$

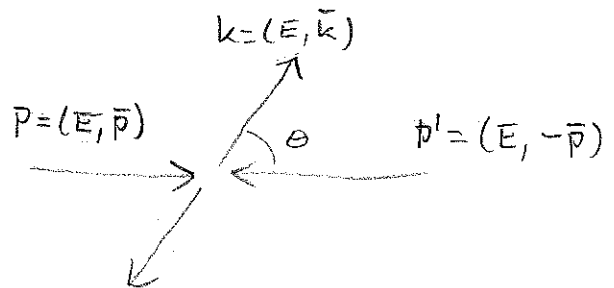
Nyt $(p+p')^2 = 4E^2$, $|\vec{p}| = E$

CM-frame $\vec{p}' = -\vec{p}$

$$p \cdot k = p' \cdot k' = E^2 - \vec{p} \cdot \vec{k} = E^2 - E|\vec{k}| \cos \theta$$

$$p \cdot p' = 2E^2$$

$$p \cdot k' = p' \cdot k = E^2 + E|\vec{k}| \cos \theta$$



$$\Rightarrow \frac{1}{4} \sum_{\text{spin}} |M|^2 = \frac{8e^2}{16E^4} [E^2 (E - |\vec{k}| \cos \theta)^2 + E^2 (E + |\vec{k}| \cos \theta)^2 + 2m_\mu^2 E^2]$$

$$= e^4 \left[\left(1 + \frac{m_\mu^2}{E^2}\right) + \left(1 - \frac{m_\mu^2}{E^2}\right) \cos^2 \theta \right]$$

Nyt voidaan käyttää (4.55), missä

$$|v_A - v_B| = 2 \quad \text{ja} \quad E_A = E_B = \frac{1}{2} E_{\text{CM}} = E, \quad |\vec{p}| = \sqrt{E^2 - m_\mu^2}$$

Joten

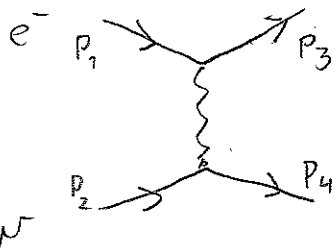
$$\frac{d\sigma}{d\Omega} = \frac{e^4}{64\pi^2 4E^2} \left[1 - \frac{m_\mu^2}{E^2}\right]^{1/2} \left[1 + \frac{m_\mu^2}{E^2} + \left(1 - \frac{m_\mu^2}{E^2}\right) \cos^2\theta\right] \quad (4.62)$$

Ja vielä

$$\begin{aligned} \sigma &= \int d\Omega \frac{d\sigma}{d\Omega} = 2\pi \int_{-1}^1 d(\cos\theta) \frac{d\sigma}{d\Omega} \\ &= \frac{e^4}{4 \cdot 12\pi E^2} \left[1 - \frac{m_\mu^2}{E^2}\right]^{1/2} \left(1 + \frac{1}{2} \frac{m_\mu^2}{E^2}\right) \end{aligned} \quad (4.63)$$

huom! jos $E < m_\mu$, menee imaginaarisiksi
 \Leftrightarrow siroutaa ei tapahdu, E liian pieni

$$\underline{e^- \nu^- \rightarrow e^- \nu^-}$$



$$iM = \frac{ie^2}{(p_1 - p_3)^2} \bar{u}(p_3) \gamma^\mu u(p_1) \bar{u}(p_4) \gamma_\mu u(p_2) \quad (4.64)$$

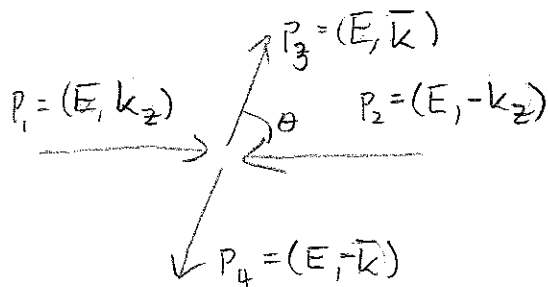
$$\begin{aligned} \frac{1}{4} \sum_{\text{spin}} |M|^2 &= \frac{e^4}{4(p_1 - p_3)^4} \text{tr}[\gamma^\mu (\not{p}_1 + m_e) \gamma^\nu (\not{p}_3 + m_e)] \times \\ &\quad \text{tr}[\gamma_\mu (\not{p}_2 + m_\nu) \gamma_\nu (\not{p}_4 + m_\nu)] \end{aligned} \quad (4.65)$$

sama kuin $e^+e^- \rightarrow \mu^+\mu^-$, poitsi $p_1 \leftrightarrow p$, $p_3 \leftrightarrow -p'$
 $p_2 \leftrightarrow -k'$, $p_4 \leftrightarrow k$

asetetaan taas $m_e = 0$ ja vielä $m_\nu = 0$
 (hyvin suuren energian raja)

Siis

$$\frac{1}{4} \sum |M|^2 = \frac{8e^4}{(p_1 - p_3)^4} [p_1 \cdot p_4 p_3 \cdot p_2 + p_1 \cdot p_2 p_3 \cdot p_4] \quad (4.66)$$



$$E = |\bar{k}|$$

$$\bar{k} \cdot \bar{e}_z = k \cos \theta$$

$$N_{yt} \quad p_1 \cdot p_2 = p_3 \cdot p_4 = 2E^2,$$

$$p_1 \cdot p_4 = p_3 \cdot p_2 = E^2(1 + \cos \theta)$$

$$p_1 \cdot p_3 = E^2(1 - \cos \theta)$$

$$(p_1 - p_3)^2 = -2E^2(1 - \cos \theta)$$

$$\text{Joten} \quad \frac{1}{4} \sum |M|^2 = \frac{2e^2}{(1 - \cos \theta)^2} (4 + (1 + \cos \theta)^2) \quad (4.67)$$

$$N_{yt} \quad \frac{d\sigma}{d\Omega} = \frac{e^4}{32\pi^2 4E^2} \frac{4 + (1 + \cos \theta)^2}{(1 - \cos \theta)^2} \quad (4.68)$$

Huomaa ero (4.62) missä $m_p \rightarrow 0$

$$(4.62) \rightarrow \frac{e^4}{64\pi^2 4E^2} (1 + \cos^2 \theta)$$

(4.68) divergoi $\sim \frac{1}{\theta^4}$ kun $\theta \rightarrow 0$. $\sigma_{TOT} = \infty$,

tyypillistä Coulombin siramolle. Kun $\theta \rightarrow 0$,

vaihdettu fotoni $(p_1 - p_3)^2 \rightarrow 0$ eli

löhestyy massakuorta.

$e^-e^- \rightarrow e^-e^-$

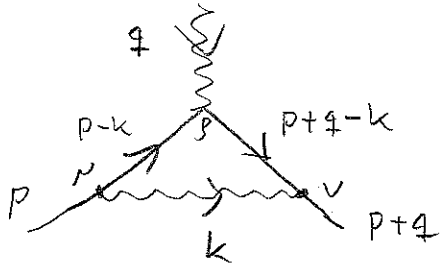
Nyt tulevat diagrammit



Sinänsä suoraviivainen lasku, mutta nyt $|M|^2$ sisältää "ristitulon". Tästä tulee diagrammien välinen interferenssi.

Verteksimonjous

- Katsotaan QED:tä vielä keven leulekitasolla. Lasketaan verteksi-
monjous



Tämä ei ole
sivuntadiagramma, sillo
kaikki ulk. jätet eivät
voi olla massakuorella
"on-shell":

$$p^2 = m^2, q^2 = 0 \Rightarrow (p+q)^2 = m^2 + 2p \cdot q$$

↑
toijon $m > 0$

Sovelletaan Feynmanin sääntöjä

$$A = (-ie)^3 \bar{u} \epsilon \int \frac{d^d k}{(2\pi)^d} \gamma_\nu \frac{i}{\not{p} + \not{q} - \not{k} - m} \gamma_\rho \frac{i}{\not{p} - \not{k} - m} \gamma_\mu \cdot \frac{-i\eta^{\mu\nu}}{k^2}$$

menetään jälleen euklidiseen avaruuteen:

nyt $\frac{1}{\not{p} - m} = \frac{\not{p} + m}{p^2 - m^2} \rightarrow \frac{\not{p}_E - m}{p_E^2 + m^2}$ missä $\not{p}_E = \gamma_E^\mu p_{E\mu}$

JA $\{\gamma_E^\mu, \gamma_E^\nu\} = 2\delta^{\mu\nu}$

$$A = -ie^3 \bar{u} \epsilon \int \frac{d^d k}{(2\pi)^d} \frac{\gamma_\nu (\not{p} + \not{q} - \not{k} - m) \gamma_\rho (\not{p} - \not{k} - m) \gamma_\mu}{((p+q-k)^2 + m^2)((p-k)^2 + m^2) k^2} \quad (4.60)$$

Nimitetään Feynman-parametrisointi

$$2 \int_0^1 d\alpha \int_0^{1-\alpha} d\beta \left[((p+q-k)^2 + m^2)\alpha + ((p-k)^2 + m^2)\beta + k^2(1-\alpha-\beta) \right]^{-3}$$

Nyt

$$[\] = k^2 - 2k \cdot [\alpha(p+q) + \beta p] + \alpha(p+q)^2 + \beta p^2 + m^2(\alpha+\beta)$$

jälleen sijoitus

$$\underline{k \Rightarrow k + \alpha(p+q) + \beta p} \Rightarrow \quad (4.70)$$

$$[\] = k^2 + m^2(\alpha+\beta) + (\alpha+\beta)(1-\alpha-\beta)p^2 + \alpha(1-\alpha)q^2 + 2\alpha(1-\alpha-\beta)p \cdot q \equiv \underline{k^2 + Q^2}$$

sijoitus (4.70) pitää tehdä myös osoittajassa

$$y = \gamma_\nu [\cancel{p}(1-\alpha-\beta) + \cancel{q}(1-\alpha) - k - m] \gamma_\rho \times [\cancel{p}(1-\alpha) - k - m] \gamma^\nu \quad (4.71)$$

Etsitään nyt vain divergoiva osa. Koska nimittäjä $\sim k^6$, integraali divergoi vain $\sim k^2$ -termien osalta. siis $y \rightarrow \gamma_\nu k \gamma_\rho k \gamma^\nu$.

• Nyt siis divergoiva osa

$$-2ie^3 \mu \int \frac{d^d k}{(2\pi)^d} d\alpha d\beta \frac{d^4 l}{[k^2 + Q^2]^3} \gamma_\nu k \gamma_\rho k \gamma^\nu$$

$$\gamma_\nu k \gamma_\rho k \gamma^\nu = -\underbrace{\gamma_\nu \gamma_\rho k k \gamma^\nu}_{k \cdot k} + 2 \underbrace{k_\rho \gamma_\nu k \gamma^\nu}_{(2-d)k}$$

$$= -2\delta_{\nu\rho} \gamma^\nu k \cdot k + \gamma_\rho \gamma_\nu \gamma^\nu k \cdot k + 2(2-d)k_\rho k$$

$$= (d-2)k^2 \gamma_\rho + 2(2-d)k_\rho k$$

Nyt d -dimensiossa (eukl.)

$$\{\gamma^\mu, \gamma^\nu\} = 2\delta^{\mu\nu}$$

$$\text{Ja } \text{Tr } \gamma_\mu \gamma_\nu = \frac{1}{2} \text{Tr } \{\gamma_\mu, \gamma_\nu\} = \delta_{\mu\nu} \cdot \text{Tr } \mathbb{I} = 4\delta_{\mu\nu}$$

$$\text{Samoin } k \cdot k = \frac{1}{2} k_\mu k_\nu \{\gamma^\mu, \gamma^\nu\} = k \cdot k$$

$$\begin{aligned} \text{mutta } \underline{\gamma_\nu k} \gamma^\nu &= -\gamma_\nu \gamma^\nu k + \underbrace{\gamma_\nu \{k, \gamma^\nu\}}_{2k^\nu} = -\delta_\nu^\nu k + 2k \\ &= \underline{(2-d)k} \end{aligned} \quad (4.72)$$

Nyt termissä $k_\beta k$ integraali antaa aivan saman tyyppistä $k_\beta k^\beta$ -kontribuutiota. Koska integraali on muuten symmetrinen, $k_\beta k \rightarrow \frac{1}{4} k^2 \gamma_\beta$

$$\text{Nyt } \gamma_\nu k \gamma_\beta k \gamma^\nu \rightarrow -\frac{1}{2}(2-d) k^2 \gamma_\beta$$

$$\begin{aligned} \text{Ja } A &= -2ie^3 (2-d) \gamma_\beta \int d\alpha d\beta \left[\frac{4\pi N^2}{Q^2} \right]^{\epsilon/2} \\ &\quad \times \frac{d}{2 \cdot 16\pi^2} \frac{\Gamma(\epsilon/2)}{\Gamma(3)} \end{aligned}$$

$$\begin{aligned} \text{Nyt } \int_0^1 d\alpha \int_0^{1-\alpha} d\beta []^{\epsilon/2} &= \int_0^1 d\alpha \int_0^{1-\alpha} d\beta \left[1 + \frac{\epsilon}{2} \ln \frac{4\pi N^2}{Q^2} \right] + O(\epsilon^2) \\ &= \frac{1}{2} + \frac{\epsilon}{2} \int_0^1 \int_0^{1-\alpha} d\alpha d\beta \ln \frac{4\pi N^2}{Q^2} \end{aligned}$$

$$\Gamma\left(\frac{\epsilon}{2}\right) = \frac{2}{\epsilon} - \gamma_E + O(\epsilon)$$

Divergentti osu on siis

$$-\gamma\beta \frac{-ie^3}{2 \cdot 16\pi^2} [(2-\epsilon) \frac{1}{2} (4-\epsilon) (\frac{2}{\epsilon} - \gamma_E)] \cdot \left[\frac{1}{2} + \frac{\epsilon}{2} \zeta(-1) \right]$$

$$= \frac{-ie^3}{16\pi^2} \frac{2}{\epsilon} \gamma\beta.$$

Tällä on sama rakenne kuin "poijalla"

vertausilla $-ie\gamma\beta$. Siis divergentti multiplikatiivinen

korjaus on $\frac{e^2}{16\pi^2} \frac{2}{\epsilon}$.